

РПА, подтверждающие удовлетворительную сходимость предложенного математического описания.

СПИСОК ЛИТЕРАТУРЫ

1. Юдаев, В.Ф. Исследование гидродинамической сирены [Текст] / В.Ф. Юдаев, Д.Т. Кокорев // Известия вузов. Машиностроение. – 1969. – № 10. – С. 72-77.

Юдаев, В.Ф. К вопросу о расчёте геометрических параметров аппарата типа гидродинамической сирены [Текст] / В.Ф. Юдаев, Д.Т. Кокорев, А.И. Сопин // Известия вузов. Машиностроение. – 1972. – № 6. – С. 80-85.

3. Юдаев, В.Ф. Гидромеханические процессы в роторных аппаратах с модуляцией проходного сечения потока обрабатываемой среды [Текст] / В.Ф. Юдаев // Теоретические основы химических технологий. – 1994. – Т. 28, № 6. – С. 581-590.

4. Карепанов, С.К. О нестационарных гидродинамических процессах в аппаратах химической технологии [Текст] / Карепанов С.К., Юдаев В.Ф. // Нестационарная гидромеханика: теория, эксперимент, практические приложения. – М.: СВС – Технология, 1997. – С. 44-49.

5. Зимин, А.И. Прикладная механика прерывистых течений [Текст] / А.И. Зимин. – М.: Фолиант, 1997. – 308 с.

УДК 004.942:66.06

## УЧЁТ ПРОСКАЛЬЗЫВАНИЯ ВИХРЕВОГО ПОТОКА В ПЕРФОРИРОВАННОМ РОТОРЕ

А.Б. Евграфова, В.А. Плотников, П.Т. Петрик

*Представлены результаты теоретических исследований гидродинамики вихревого потока в перфорированном роторе с газовой полостью: зависимость коэффициента проскальзывания от интенсивности вдува; относительный радиальный профиль окружной скорости в роторе; распределение относительного давления в роторе. Решение позволяет получить в явном виде выражения для расчёта коэффициента проскальзывания жидкости на границе раздела фаз.*

*Ключевые слова: проскальзывание, вихревой поток в перфорированном роторе, расчёт коэффициента проскальзывания*

Одним из факторов, снижающим эффективность работы фильтрующих центрифуг, является проскальзывание жидкости в перфорированном роторе, приводящее к снижению давления фильтрования и уменьшению производительности.

Эта проблема свойственна и статическим аппаратам с закрученными вихревыми потоками, в которых тангенциальная подача определяет гидравлическое сопротивление и эффективность разделения дисперсий.

Одним из перспективных методов решения гидродинамических задач разделения дисперсных потоков является анализ уравнений движения несущего вихревого потока и получение на его основе безразмерных зависимостей, определяющих показатели разделительного процесса.

Применение методов вычислительной гидродинамики позволяет углубить понимание работы соответствующих аппаратов и выбрать наилучшую геометрическую форму и размеры конструкции. Использование этого метода особенно эффективно для мно-

гофазных гетерогенных систем и аппаратов со сложной геометрией.

Гидродинамика вихревого потока в перфорированном роторе во многом определяется условиями и интенсивностью подачи рабочей среды. В простейшем варианте обрабатываемая среда подаётся в ротор через трубу питания с последующим разбрызгиванием её на внутренней свободной поверхности. Взаимодействие потока питания с вихревым потоком перфорированного ротора приводит к торможению граничной поверхности вихря и отставанию жидкости относительно стенок ротора.

Рассмотрим идеализированную схему подачи рабочей среды в перфорированном роторе (рис.1,б), когда на поверхность раздела фаз равномерно подаётся радиальный поток питания. В силу высокой скорости вращения перфорированного ротора свободную поверхность жидкости будем считать цилиндрической. Будем также полагать, что влияние торцевых пристенных слоёв пренебрежительно мало.

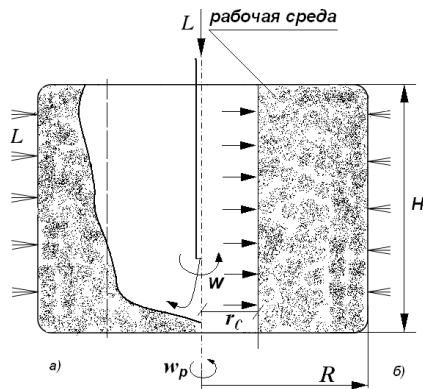


Рисунок 1 - Расчётная схема перфорированного ротора: а) реально, б) схематично;  $R, H$  - внутренний радиус и высота ротора;  $\varepsilon R$  - радиус газовой полости;  $w$  - угловая скорость вращения ротора,  $L$  - объемный расход жидкости через ротор

В этом случае движение вихревого потока в перфорированном роторе может быть описано следующей системой уравнений, записанной в цилиндрической системе координат:

- радиальный профиль давления в перфорированном роторе:

$$\frac{1}{\rho} \cdot \frac{dP}{dr} = \frac{V\phi^2}{r};$$

- радиальный профиль окружной компоненты скорости рабочей среды: (1)

$$V_r \cdot \frac{dV_\phi}{dr} + \frac{V_r \cdot V_\phi}{r} = \nu \cdot \left[ \frac{d}{dr} \left[ \frac{1}{r} \cdot \frac{d}{dr} \left( r \cdot V_\phi \right) \right] \right]$$

- условие сплошности радиального потока, при условии, что осевая компонента скорости равна нулю:

$$\frac{d}{dr} \left( r \cdot V_r \right) = 0;$$

- допущение, которое приходится принять с тем, чтобы иметь возможность аналитического решения задачи:

$$V_z = 0;$$

- граничные условия: (2)

$$\text{при } r = \varepsilon R \quad V_r = \frac{L}{2\pi \cdot \varepsilon R \cdot H}$$

$$\tau_\varepsilon = \rho \cdot \nu \cdot \left[ r \cdot \frac{d}{dr} \left( \frac{V_\phi}{r} \right) \right];$$

$$\text{при } r = R \quad V_r = \frac{L}{2\pi \cdot R \cdot H}$$

$$V_\phi = \omega \cdot R$$

Первое граничное условие обозначает, что свободная цилиндрическая поверхность испытывает касательное напряжение, вызванное потоком орошения. Второе граничное равенство вытекает из условия прилипания жидкости на цилиндрической стенке перфорированного ротора.

Отсутствие осевых перемещений в перфорированном роторе однозначно определяет радиальный поток как поток расширения. Действительно, интегрирование уравнения сплошности приводит к выражению:

$$V_r = \frac{C}{r},$$

в котором постоянная интегрирования  $C$  находится из первого граничного условия:

$$C = \varepsilon R \cdot \frac{L}{2\pi \cdot \varepsilon R \cdot H} = \frac{L}{2 \cdot \pi \cdot H}$$

Результат можно представить в безразмерном виде:

$$k = \frac{r \cdot V_r}{\nu} = \frac{L}{2 \cdot \pi \cdot H \cdot \nu} = RE_r, \quad (3)$$

где показатель  $k$  определяет число Рейнольдса, характеризующее интенсивность радиального потока в перфорированном роторе. Заметим, что в качестве вязкости среды здесь принят коэффициент турбулентного обмена, оценивающий интенсивность турбулентности вихревого потока.

Используя результат (3) преобразуем второе уравнение системы (1), получим (4)

$$k \cdot \frac{1}{r} \cdot \frac{d}{dr} \left( r \cdot V_\phi \right) = \left[ r \cdot \frac{d}{dr} \left[ \frac{1}{r} \cdot \frac{d}{dr} \left( r \cdot V_\phi \right) \right] \right]$$

$$\text{Введение переменной } Y = \frac{1}{r} \cdot \frac{d}{dr} \left( r \cdot V_\phi \right)$$

позволяет понизить порядок уравнения (4) и свести его к классу дифференциальных уравнений с разделяющимися переменными при условии, что показатель  $k$  величина постоянная:

$$\frac{dY}{Y} = k \cdot \frac{dr}{r}$$

Интегрирование последнего уравнения приводит к результату: (5)

$$Y = C_1 \cdot r^k \quad \frac{d}{dr} \left( r \cdot V_\phi \right) = C_1 \cdot r^{k+1}$$

Проведя повторное интегрирование, получим искомое решение:

$$V_\phi = \frac{C_1}{k+2} \cdot r^{k+1} + \frac{C_2}{r},$$

где значения постоянных интегрирования  $C_1$  и  $C_2$  можно найти из граничных условий (2). Предварительно преобразуем выражение для касательных напряжений на границе раздела фаз. Покажем, что производная:

$$r \cdot \frac{d}{dr} \left( \frac{V_\phi}{r} \right) = \frac{dV_\phi}{dr} - \frac{V_\phi}{r} = \frac{dV_\phi}{dr} + \frac{V_\phi}{r} - 2 \cdot \frac{V_\phi}{r} = \frac{1}{r} \cdot \frac{d}{dr} \left( r \cdot V_\phi \right) - 2 \cdot \frac{V_\phi}{r}$$

Поэтому выражение для безразмерных касательных напряжений можно представить в следующем виде:

$$\frac{\tau_\varepsilon}{\rho \cdot \nu \cdot \omega} = \frac{1}{r} \cdot \frac{d}{dr} \left( \frac{r \cdot V_\phi}{\omega} \right) - 2 \cdot \frac{V_\phi}{\omega \cdot r}.$$

Принимая во внимание результат первого интегрирования (5) можно записать:

$$\frac{\tau_\varepsilon}{\rho \cdot \nu \cdot \omega} + 2 \cdot \frac{V_\phi}{\omega \cdot r} = \frac{C_1}{\omega} \cdot r^k \quad (6)$$

Касательные напряжения на внутренней границе вихревого потока возникают в результате тормозящего действия радиального потока питания. Передача кинетической энергии потоку питания приводит к появлению граничных касательных напряжений. Математически это запишется так:

$$\frac{\rho \cdot L \cdot \nu \cdot \omega \cdot \varepsilon \cdot R^2}{2} = \tau_\varepsilon \cdot 2\pi \cdot \varepsilon R \cdot H \cdot \nu \cdot \omega \cdot \varepsilon \cdot R,$$

$$\text{откуда } \frac{\tau_\varepsilon}{\rho \cdot \nu \cdot \omega} = \frac{k \cdot \alpha}{2}. \quad (7)$$

В выражении (7) параметр  $\alpha$  определяет степень проскальзывания жидкости относительно ротора на границе раздела фаз. С его учетом выражение (6) можно представить следующим образом:

$$\frac{k \cdot \alpha}{2} = \frac{C_1}{\omega} \cdot \left( \frac{R}{r} \right)^k - 2\alpha,$$

$$\text{откуда } \frac{C_1 \cdot \left( \frac{R}{r} \right)^k}{\omega} = \alpha \cdot \frac{k+4}{2}.$$

Подставим найденное значение постоянной интегрирования в уравнение (5) и выполним второе интегрирование:

$$\frac{d}{dr} \left( r \cdot \frac{V_\phi}{\omega} \right) = \alpha \cdot \frac{k+4}{2} \cdot \left( \frac{R}{r} \right)^k \cdot r^{k+1}.$$

В итоге получим:

$$\frac{V_\phi}{\omega \cdot r} = \alpha \cdot \frac{k+4}{2 \cdot (k+2)} \cdot \left( \frac{r}{\varepsilon R} \right)^k + \frac{C_2}{r^2}.$$

Постоянную интегрирования  $C_2$  найдём из второго граничного условия:

$$1 = \alpha \cdot \frac{k+4}{2 \cdot (k+2)} \cdot \left( \frac{1}{\varepsilon} \right)^k + \frac{C_2}{r^2} \text{ откуда}$$

$$\frac{C_2}{r^2} = 1 - \alpha \cdot \frac{k+4}{2 \cdot (k+2)} \cdot \left( \frac{1}{\varepsilon} \right)^k.$$

Окончательно, функция проскальзывания жидкости в перфорированном роторе будет иметь вид: (8)

$$\frac{V_\phi}{\omega \cdot r} = \alpha \cdot \frac{k+4}{2 \cdot (k+2)} \cdot \left( \frac{r}{\varepsilon R} \right)^k + \left( \frac{R}{r} \right)^2 \cdot \left[ 1 - \alpha \cdot \frac{k+4}{2 \cdot (k+2)} \cdot \left( \frac{1}{\varepsilon} \right)^k \right]$$

Выражение для коэффициента  $\alpha$  найдём из первого граничного условия:

$$\frac{1}{\alpha} = \left[ 1 - \frac{k+4}{2 \cdot (k+2)} \right] \cdot \varepsilon^2 + \frac{k+4}{2 \cdot (k+2)} \cdot \left( \frac{1}{\varepsilon} \right)^k \quad (9)$$

Из результата (9) следует, что степень проскальзывания жидкости в роторе определяется интенсивностью радиального потока и размером газовой полости.

Численное и аналитическое решение системы уравнений производили на ЭВМ с помощью таких программных продуктов как Mathcad 11.

Получен результат, который представлен далее графически.

Коэффициент проскальзывания:

$$\alpha = \frac{1}{\varepsilon^2 \cdot \left[ 1 + \frac{k+4}{2 \cdot k+4} \cdot \left( \frac{1}{\varepsilon^{k+2}} - 1 \right) \right]}$$

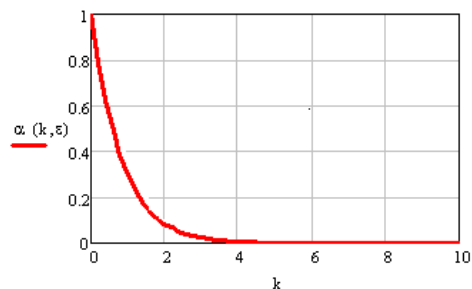


Рисунок 2 - Зависимость коэффициента проскальзывания  $\alpha$  от интенсивности вдува  $k$  при известном размере газовой полости  $\varepsilon$

Относительный радиальный профиль окружной скорости в роторе:

$$U = \left(\frac{1}{x}\right)^2 \cdot \left[ 1 + \alpha \cdot \left(\frac{\epsilon + 4}{2 \cdot k + 4}\right) \cdot \left(\frac{1}{\epsilon}\right)^k \right]$$

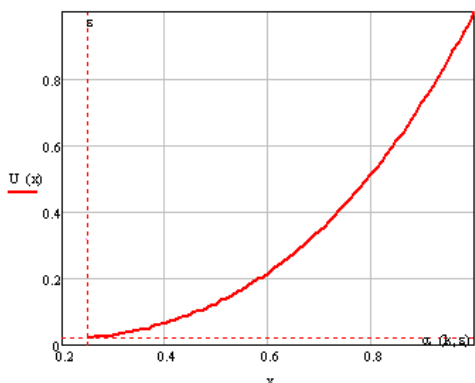


Рисунок 3 - Относительный радиальный профиль окружной скорости в роторе  $U$ , при текущем радиусе  $x$  и интенсивности вдува  $k$

Распределение относительного давления в роторе:

$$EU(x) = \frac{2\Delta P}{\rho \cdot R^2} = \int_{\epsilon}^x 2 \cdot x \cdot U(x)^2 dx$$

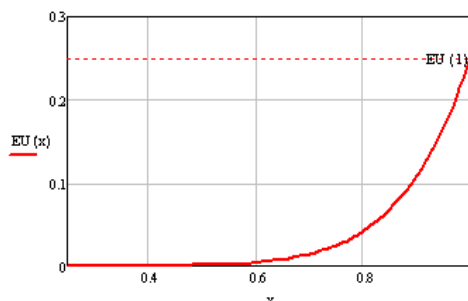


Рисунок 4 - Распределение относительного давления в роторе  $EU$ , при текущем радиусе  $x=r/R$

Влияние радиуса газовой полости на перепад давления в роторе:

$$U(x, \epsilon) = \left(\frac{1}{x}\right)^2 \cdot \left[ 1 + \alpha \cdot \left(\frac{\epsilon + 4}{2 \cdot k + 4}\right) \cdot \left(\frac{1}{\epsilon}\right)^k \right]$$

$$EUm(\epsilon) = \int_{\epsilon}^1 2 \cdot x \cdot U(x, \epsilon)^2 dx$$

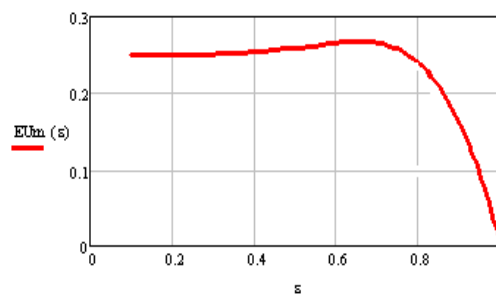


Рисунок 5 - Влияние радиуса газовой полости на перепад давления в роторе

Отметим, что перепад давления в роторе с радиальным питанием практически не зависит от размера газовой полости, если последняя не превышает некоторого предельного размера.

Построенные математические модели и методы расчета, предложенные алгоритмы составляют основу решения задач оптимизации и управления процессами разделения суспензий для широкого класса центрифуг. Результаты выполненных теоретических и прикладных исследований, выработанные рекомендации могут быть использованы в профильных научно-исследовательских и проектных организациях, промышленных предприятиях, связанных с разделением, фильтрованием и очисткой жидких сред.

Данный вариант решения позволяет получить в явном виде выражения для расчёта коэффициента проскальзывания.

#### СПИСОК ЛИТЕРАТУРЫ

1. Лагуткин, М.Г. Оценка действия силы Кориолиса в аппаратах с закрученным потоком / М.Г. Лагуткин, Д.А. Баранов. - ТОХТ, 2004, т.38. №1.
2. Плотников, В.А. Течение жидкости в цилиндрическом роторе с проницаемыми стенками / В.А. Плотников, О.А. Трошкин. - Тез. докл. III Всесоюзной научной конференции, М: МИХМ, 1983.
3. Соколов, В.И. Проблемы теории центрифугирования. - Известия вузов. Пищевая технология, 1981, №1.
4. Трошкин, О.А. Приближенная модель вихревого потока, ограниченного проницаемыми стенками. - ТОХТ, 1988, т.22, №5.